

УДК 547.495.2:(54-145.2:544.35.03)

ОБЪЕМНЫЕ СВОЙСТВА И СТРУКТУРА ВОДНЫХ РАСТВОРОВ МОЧЕВИНЫ ПРИ 263—348 К

© 2008 **В.П. Королев***

Институт химии растворов РАН, Иваново

Статья поступила 26 июля 2007 г.

Кажущийся молярный объем мочевины ϕ в водном растворе в диапазоне $T = 273$ — 323 К и моляльностей $m = 1$ — 10 находится в линейной зависимости от $m^{1/2}$. Получено уравнение для расчета $\phi(m, T)$. Вычислены парциальные молярные характеристики мочевины \bar{Y}_2 и воды \bar{Y}_1 : объем, расширяемость, температурные коэффициенты объемов. Зависимости $\bar{Y}(T)$ имеют характеристические точки (экстремумы, точки перегиба), положение которых смещается в область более низких температур при разбавлении раствора. Зависимости $\bar{Y}_1(T)$ для $2m$ и $4m$ раствора мочевины сохраняют черты $Y_1(T)$ чистой воды. В таких растворах, видимо, сохраняется собственная структура воды.

Ключевые слова: мочевина, водные растворы, объемные свойства, структура.

Вода может существовать в переохлажденном состоянии вплоть до весьма низкой температуры 227 К [1], хотя экспериментальные данные имеются до температуры примерно на 10 К выше [1]. На структурном уровне "переохлаждение приводит к сокращению количества молекул воды — ближайших соседей. Одновременно происходит рост числа тетраэдрически упорядоченных молекул... и некоторое усиление водородного связывания" [2]. Считают, что "переохлажденная вода представляет собой сильно структурированную жидкость, более упорядоченную и ажурную, чем обычная вода" [2]. В области низких температур в [3] предсказывается появление максимума на зависимости теплоемкости гидратации неполярных веществ от температуры, а в [4], напротив, предсказывается исчезновение максимума на зависимости теплоты растворения *n*-бутилового спирта от состава смешанного растворителя вода—этilenгликоль. В связи с влиянием температуры на свойства воды следует упомянуть и об эффекте так называемой холодной денатурации белков.

Объемные свойства и структурные особенности водных растворов мочевины недавно обсуждались в [5, 6]**. В [5] основное внимание уделено "структурно-термодинамическим эффектам, индуцированным Н/Д-изотопным замещением". Глава монографии [6] посвящена более детальному анализу объемных свойств водных растворов мочевины при 278 — 318 К. И в [5], и в [6] обсуждались, в основном, характеристики, соответствующие состоянию бесконечно разбавленного раствора.

В [7] определены кажущиеся молярные объемы ϕ мочевины в водных растворах в широком диапазоне моляльностей m при 273 , 313 и 323 К, дополненные литературными данными

* E-mail: korolev@isuct.ru

** Такие объемные характеристики как молярная расширяемость и температурный коэффициент объемного расширения связаны известными термодинамическими соотношениями с энтропией и теплоемкостью, поэтому "...содержат информацию о природе структурных (конфигурационных) изменений в системе при ее термическом расширении" [6].

для 298 К. Два значения ϕ получены при пониженных температурах: 268,37 ($m = 4$) и 264,04 К ($m = 8$). Показано, что ϕ нелинейно уменьшается с понижением температуры, причем для концентрированных растворов мочевины зависимость $\phi(T)$ выражена слабее.

Цель настоящего исследования состояла в получении аналитического выражения зависимости $\phi(m, T)$ и анализе объемных характеристик растворов мочевины в воде в широком интервале температур, включая $T < 273$ К, и концентраций*.

В [7] неопределенность данных о ϕ оценивается как $\pm 0,02 \text{ см}^3/\text{моль}$ при $m = 1$. Она уменьшается в обратно пропорциональной зависимости от m . Анализ показал, что в широком интервале моляльностей $m = 1—10$ данные [7] описываются линейным уравнением от $m^{1/2}$ с погрешностью, заметно меньшей, чем экспериментальная:

$$\phi = \phi^0 + b m^{1/2}. \quad (1)$$

Параметры уравнения (1) с их стандартными отклонениями приведены в табл. 1**. В [7] предложен новый аргумент $x = m/(1 + 0,15m)$, обеспечивающий линейную зависимость $\phi(x)$. Уравнение (1) выглядит более "естественным" и является более точным (см. табл. 1).

Далее было получено:

$$b = 1/[1,2981 \pm 0,0024 + (0,03411 \pm 0,00008)(T - 273,15)]^{3/2}. \quad (2)$$

Имея уравнение, описывающее зависимость $b(T)$, теперь достаточно получить зависимость $\phi(T)$ для любого значения моляльности, чтобы можно было рассчитать ϕ при различных m и T . При этом величины ϕ , полученные в [7] при $T < 273$ К для $m = 4$ и $m = 8$, оказываются весьма кстати для проверки экстраполяционных возможностей уравнений.

Были проанализированы три варианта, представленные уравнениями

$$\phi (m = 0) = 41,555 \pm 0,008 - (1631,0 \pm 4,6)(1/t^{11/2} - 1/\theta^{11/2}), \quad s_f = 0,008 \text{ см}^3/\text{моль}, \quad (3)$$

$$\phi (m = 4) = 42,912 \pm 0,006 - (223,34 \pm 0,58)(1/t^{7/2} - 1/\theta^{7/2}), \quad s_f = 0,005 \text{ см}^3/\text{моль}, \quad (4)$$

$$\phi (m = 8) = 43,478 \pm 0,006 - (91,11 \pm 0,32)(1/t^{5/2} - 1/\theta^{5/2}), \quad s_f = 0,007 \text{ см}^3/\text{моль}, \quad (5)$$

где $t = T/100$, $\theta = 273,15/100$.

Уравнение (3) получено на основе данных о ϕ^0 из табл. 1; уравнения (4) и (5) на основе экспериментальных данных [7] о ϕ при $m = 4$ и $m = 8$ и температурах 273,15, 298,15, 313,15

Т а б л и ц а 1

*Параметры уравнения (1) для кажущегося молярного объема мочевины
в водных растворах (см³/моль) при различных температурах*

$T, \text{ К}$	ϕ^0	b	s_f	s_f^*	$\phi^0 [7]$
273,15	$41,557 \pm 0,013$	$0,6753 \pm 0,0058$	0,010	0,036	41,75
298,15	$44,029 \pm 0,008$	$0,3175 \pm 0,0036$	0,006	0,018	44,20
323,15	$45,474 \pm 0,005$	$0,1920 \pm 0,0024$	0,004	0,012	45,60

* Получено для линейной зависимости $\phi(x)$, где $x = m/(1 + 0,15m)$ [7].

* Строго говоря, моляльность не следует относить к концентрациям. "Согласно Международной системе единиц (СИ) к концентрациям следует относить только массовую и молярную концентрации. Все остальные характеристики содержания компонента в системе не являются концентрациями" [8].

** Вероятно, Уайт [9] был первым, кто обнаружил линейную зависимость от $m^{1/2}$ для свойства, характеризующего растворы неэлектролитов. Таким свойством была кажущаяся молярная теплоемкость мочевины или маннита в водном растворе при моляльности, не превышающей единицу. В [5] для растворов мочевины моляльностью менее 1,5 использована зависимость ϕ от содержания мочевины, эквивалентная линейной от m . В [10] показано, что имеет место линейная зависимость кажущегося молярного объема мочевины от ее молярной концентрации (c) при $c < 3 \text{ моль/л}$ (298 К) и $c < 4,5 \text{ моль/л}$ (303 К). Линейная зависимость от $m^{1/2}$ обнаружена недавно для тепловых свойств тройных систем [11, 12].

Таблица 2

Опытные [7] и рассчитанные по различным уравнениям кажущиеся молярные объемы мочевины в водных растворах (см³/моль)

T, K	m	φ [7]	φ(2), (3)	φ(2), (4)	φ(2), (5)
268,37	4	42,47	42,55	42,49	42,46
264,04	8	42,73	43,11	42,92	42,82

однако при экстраполяции на $T = 264,04$ K, $m = 8$ результат выглядит уже не столь хорошим. Уравнение (5) при экстраполяции на $T = 264,04$ K (т.е. по одной координате) дает значение φ ($m = 8$) примерно на 0,1 см³/моль превышающее экспериментальное, а при экстраполяции по двум координатам (T, m) значение φ ($m = 4$) при 268,37 K всего на 0,01 см³/моль меньше экспериментального. Учитывая, что уравнение (4) при экстраполяции по одной координате (T) является весьма точным, можно сделать осторожный вывод, что опытное значение φ ($m = 4$), $T = 268,37$ K не вызывает сомнений, экспериментальная величина φ при $m = 8$ и $T = 264,04$ K несколько занижена, а лучшим для цели экстраполяции следует признать уравнение (5).

Следует сказать, что в пределах диапазона температур 273—323 K уравнения (3)—(5) с учетом (2) одинаково точны. Так, для 273,15 K получаем (см³/моль): φ ($m = 4$) = 42,91 и φ ($m = 8$) = 43,47 (уравнение (3)); φ ($m = 8$) = 43,47 (уравнение (4)), φ ($m = 4$) = 42,92 (уравнение (5)). Эти величины очень хорошо согласуются с экспериментальными [7] при указанной температуре: φ ($m = 4$) = 42,91, φ ($m = 8$) = 43,48.

В работе [7] приведены значения φ при $m = 0,5$. Их включение в расчет ухудшает корреляцию (1). Связано это с погрешностями эксперимента, которые возрастают с разбавлением раствора, или само уравнение (1) для разбавленных растворов перестает быть справедливым? Сопоставим данные опыта и расчета для φ ($m = 0,5$).

T, K	273,15	298,15	313,15
Опыт	41,96	44,29	45,16
Расчет	42,03	44,25	45,13

Из этих данных следует, что при низкой температуре экспериментальное значение φ *меньше* расчетного, а при обычной и повышенной температурах экспериментальные величины *несколько больше* расчетных. Поэтому обсуждаемые различия объясняются более высокой экспериментальной погрешностью φ при $m = 0,5$. Значит, пока нет оснований говорить о том, что уравнение (1) ограничено по концентрации снизу*.

Рассмотрим парциальные молярные характеристики растворенного вещества и растворителя в водных растворах мочевины. Парциальные молярные объемы мочевины \bar{V}_2 и воды \bar{V}_1 при условии, что для кажущегося молярного объема мочевины выполняется (1), рассчитываются из известных соотношений

$$\bar{V}_2 = \phi + 1/2m^{1/2}(\partial\phi/\partial m^{1/2}), \quad (6)$$

$$\bar{V}_1 = V_1 - 1/2(M_1/1000)m^{3/2}(\partial\phi/\partial m^{1/2}). \quad (7)$$

В (7) V_1 — молярный объем растворителя; M_1 — его молярная масса.

Для нахождения $\bar{V}_2(m, T)$ и $\bar{V}_1(m, T)$ нужно иметь аналитическое выражение для φ (m, T). С учетом проведенного выше анализа запишем уравнение, на основе которого проводили все дальнейшие расчеты парциальных молярных характеристик:

* Данные [10] для 298,15 K при $m = 0,36$ — $16,8$ (27 точек) описываются уравнением $\phi = 44,053 \pm 0,008 + (0,3093 \pm 0,0033)m^{1/2}$, $s_f = 0,02$ см³/моль. Значение φ⁰ из этого уравнения очень хорошо согласуется с величиной 44,029 см³/моль из табл. 1.

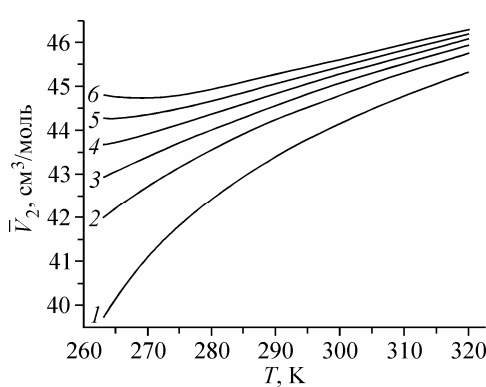


Рис. 1. Парциальные молярные объемы мочевины в ее водных растворах при $m = 0$ (1), $m = 2$ (2), $m = 4$ (3), $m = 6$ (4), $m = 8$ (5), $m = 10$ (6)

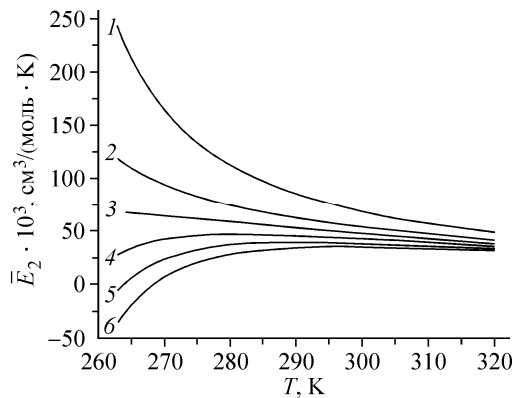


Рис. 2. Парциальные молярные расширяемости мочевины в ее водных растворах. Нумерация линий соответствует рис. 1

$$\phi = 43,478 - 91,11(1/t^{5/2} - 1/\theta^{5/2}) + (m^{1/2} - 8^{1/2})/[1,2981 + 3,411(t - \theta)]^{3/2}, \quad (8)$$

где $t = T/100$, $\theta = 273,15/100$.

Изомоляльные серии для $\bar{V}_2(T)$ показаны на рис. 1. В обсуждаемом диапазоне температур \bar{V}_2 растут с увеличением содержания в растворе мочевины. При $m = 10$ зависимость $\bar{V}_2(T)$ имеет минимум, положение которого соответствует 268,1 К. Для менее концентрированных растворов минимум смещается в область более низких температур: абсцисса минимума равна 263,8 К ($m = 8$) и 257,9 К ($m = 6$).

Другая интересная особенность изомоляльных серий $\bar{V}_2(T)$ — появление точек перегиба. Более четко они проявляются на изомоляльных сериях для парциальной молярной расширяемости $\bar{E}_2 = (\partial \bar{V}_2 / \partial T)$, показанных на рис. 2. Точки перегиба на рис. 1 соответствуют максимумам на рис. 2. Положение максимумов: 281 К ($m = 6$), 290,5 К ($m = 8$), 297,5 К ($m = 10$).

Сравним наши результаты с литературными данными. Возможность сопоставления есть для характеристик бесконечно разбавленного раствора \bar{V}_2^0 и \bar{E}_2^0 . Авторы [5] использовали для описания зависимости $\bar{V}_2^0(T)$ квадратичный полином по T . Это приводит к линейной зависимости $\bar{E}_2^0(T)$

$$\bar{E}_2^0 \cdot 10^3 = 75,21 - 1,572(T - 298,15). \quad (9)$$

\bar{E}_2^0 меняет знак, согласно (9), при $T \sim 346$ К, что связывается с предельной температурой отрицательной гидратации мочевины [6]. Однако зависимость $\bar{V}_2^0(T)$, представленная на рис. 1, имеет асимптотический вид и приводит к нелинейной зависимости $\bar{E}_2^0(T)$, как показано на рис. 2*. Ее характер не предполагает смены знака, так что при 348 К наше значение \bar{E}_2^0 равно $34 \cdot 10^{-3}$ см³/(моль·К). Наши данные и данные [5] сильно различаются и при пониженных температурах. Так, при 263 К по (9) получаем $\bar{E}_2^0 = 130 \cdot 10^{-3}$ см³/(моль·К), тогда как наша величина равна $239 \cdot 10^{-3}$ см³/(моль·К).

* Описание такого рода зависимостей полиномами проблематично. Недостатки полиномиального описания отмечались в работах [13, 14], посвященных исследованию свойств соединений гомологического ряда *n*-спиртов.

Т а б л и ц а 3

Объемные характеристики (см³/моль, см³/(моль·К), 1/К) водных растворов мочевины при различных температурах

Параметр	263,15	273,15	298,15	323,15	348,15	Параметр	263,15	273,15	298,15	323,15	348,15
\bar{V}_2^0	39,74	41,57	44,03	45,47	46,47	$\bar{E}_2^{0E} \cdot 10^3$	237	137	56	23	1
V_2	44,96	45,00	45,26	45,75	46,46	$\bar{\alpha}_2^0 \cdot 10^3$	6,00	3,44	1,61	1,03	0,73
\bar{V}_2^{0E}	-5,22	-3,43	-1,23	-0,28	0,01	$\alpha_2 \cdot 10^3$	0,05	0,13	0,33	0,52	0,71
$\bar{E}_2^0 \cdot 10^3$	239	143	71	47	34	$\bar{\alpha}_2^{0E} \cdot 10^3$	5,95	3,31	1,28	0,51	0,02
$E_2 \cdot 10^3$	2	6	15	24	33						

На рис. 3 показаны изомоляльные серии для зависимости температурного коэффициента парциального молярного объема мочевины от температуры $\bar{\alpha}_2 = \bar{E}_2 / \bar{V}_2$. Эти зависимости аналогичны представленным на рис. 2 и будут обсуждаться ниже.

Особый интерес представляют избыточные характеристики

$$\bar{Y}_2^{0E} = \bar{Y}_2^0 - Y_2, \quad (10)$$

где Y_2 — свойство компонента — растворяющего соединения.

В [5] получено уравнение для зависимости молярного объема (см³/моль) кристаллической мочевины от температуры

$$V_2 = 45,26 + 1,5 \cdot 10^{-2}(T - 298) + 1,8 \cdot 10^{-4}(T - 298)^2. \quad (11)$$

С использованием (11) и нашего уравнения (8) для ϕ мы рассчитали ряд свойств, представленных в табл. 3.

Величина \bar{V}_2^0 с температурой растет, но с убывающим темпом (\bar{E}_2^0 уменьшается), тогда как V_2 с температурой также растет, но с увеличивающимся темпом (E_2 возрастает). Это приводит к тому, что значение \bar{V}_2^{0E} при 348 К примерно равно нулю. В работе [5] найдено, что зависимость \bar{V}_2^{0E} имеет максимум при $T \sim 330$ К. Мы подтверждаем наличие максимума, но из наших данных о \bar{V}_2^{0E} ему соответствует более высокая температура. В отличие от $\bar{V}_2^{0E}(T)$ зависимости $\bar{E}_2^{0E}(T)$ и $\bar{\alpha}_2^{0E}(T)$ являются монотонно убывающими.

На рис. 4 показаны изомоляльные серии $\bar{V}_1(T)$. Значения молярного объема чистой воды $V_1 = \bar{V}_1$ ($m = 0$) рассчитаны из данных о ее плотности при $T \leq 273,15$ К [1] и $T \geq 278$ К [15]. Зависимость $V_1(T)$ имеет минимум при температуре максимальной плотности воды (277,13 К). Точка минимума $\bar{V}_1(T)$ при $m = 2$ соответствует 275 К, а при $m = 4$ — 271 К. Появляется характеристическая точка — точка перегиба, приводящая к существованию минимума на зависимостях $\bar{E}_1(T)$, показанных на рис. 5*. Для $m = 10$ точке минимума соответствует температура 281 К. Она смещается в область более низких температур при разбавлении раствора. Так, для $m = 6$ абсцисса минимума равна 268 К. Появится ли минимум на зависимости $\bar{E}_1(T)$ для раствора мочевины, моляльность которого равна двум (линия 2 на рис. 5) при достаточно сильном охлаждении? Вопрос остается открытым, но следует отметить, что для жидкой воды в области переохлаждения ($227,15 < T < 273,15$) $E_1(T)$ монотонно уменьшается с охлаждением. Расчет из данных [1] дает $E_1 \cdot 10^3 = -196$ см³/(моль·К) при 228,15 К.

* Расширяемость воды рассчитана из α_1 [1, 15] и V_1 .

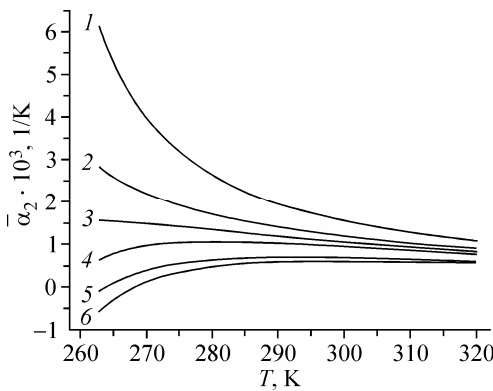


Рис. 3. Температурные коэффициенты парциального молярного объема мочевины в ее водных растворах. Нумерация линий соответствует рис. 1

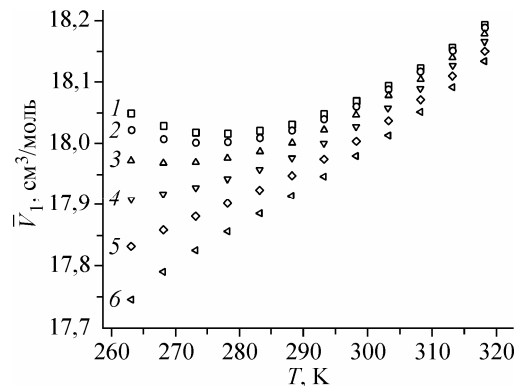


Рис. 4. Парциальные молярные объемы воды в водных растворах мочевины. Нумерация соответствует рис. 1

Стокс [7], обсуждая величину $\bar{\alpha}_2^0$, сравнивает ее с температурными коэффициентами этанола, формамида, воды, кристаллической мочевины. Он отмечает, что α нормальных и ассоциированных жидкостей увеличивается с ростом температуры, и это происходит с большим темпом при приближении к температуре кипения. Зависимость $\bar{\alpha}_2^0(T)$ имеет противоположный вид — она прогрессивно увеличивается с понижением температуры (см. рис. 3). Так как $\bar{\alpha}_2^0$ относится к бесконечно разбавленному раствору, в котором взаимодействия между молекулами мочевины отсутствуют, ход зависимости $\bar{\alpha}_2^0(T)$ должен быть связан с взаимодействиями вода—мочевина и вода—вода. Стокс считает, что первое из указанных взаимодействий не должно сильно зависеть от температуры, и делает предположение, что наблюдаемый эффект возникает от структурных изменений в состоянии воды в гидратной оболочке мочевины. При пониженных температурах структурные особенности становятся более заметны.

Действительно, из данных табл. 6 работы [7] следует, что α этанола растет с повышением температуры при $T > 273$ К, α формамида и кристаллической мочевины не зависят от температуры. Однако сравнивать этанол, формамид и кристаллическое соединение весьма сложно. Этanol находится далеко от точки плавления (159 К), это сильно нагретая жидкость, формамид ($T_{\text{пл}} \sim 276$ К) не сильно нагретая жидкость. Когда выполнялось исследование [7], еще не было данных о плотности спиртов при низких температурах. Такие данные были получены 20 лет спустя для метанола при 205—333 К и этанола при 191—333 К [16]. Авторы [16] описали температурную зависимость плотности $\rho(T)$ полиномом третьей степени. Мы провели расчеты на основе уравнений [16] некоторых характеристик жидкостей и приводим здесь данные для метанола (табл. 4). Результаты весьма интересны*.

Таблица 4

Свойства метанола (см³/моль, см³/(моль·К), 1/K), рассчитанные из зависимости $\rho(T)$ [16], при различных температурах

Параметр	198,15	223,15	248,15	273,15	298,15	323,15
V	36,323	37,376	38,447	39,560	40,739	42,020
$E \cdot 10^3$	42,01	42,35	43,50	45,63	48,98	53,83
$\alpha \cdot 10^4$	11,56	11,33	11,31	11,53	12,02	12,81

* В случае воды максимум имеет зависимость $\rho(T)$, а в случае метанола и этанола максимумы имеют зависимости $\partial\rho/\partial T$ при 271,4 (метанол) и 265 К (этанол).

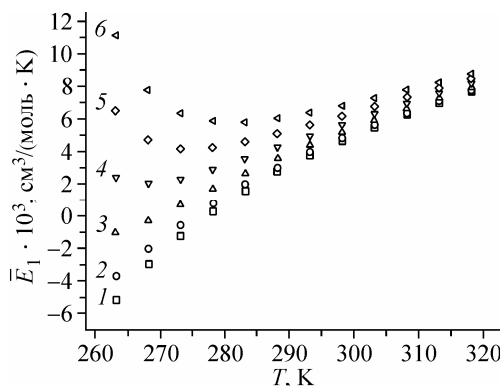


Рис. 5. Парциальные молярные расширяемости воды в водных растворах мочевины. Нумерация соответствует рис. 1

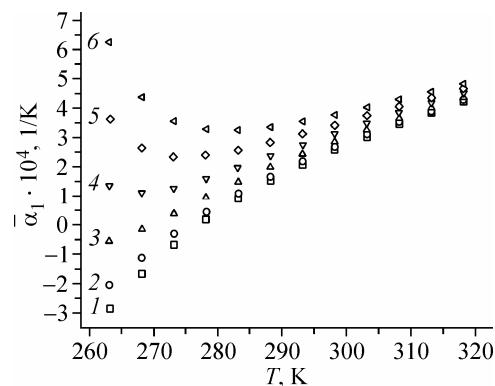


Рис. 6. Температурные коэффициенты парциального молярного объема воды в водных растворах мочевины. Нумерация соответствует рис. 1

Как видим, при охлаждении метанола его молярный объем и расширяемость уменьшаются, но их изменение происходит таким образом, что температурный коэффициент $\alpha = E/V$ при некоторой температуре принимает минимальное значение. В отличие от объема расширяемость от 223 к 198 К уменьшается совсем незначительно (и это тоже интересный факт), так что при указанном переходе α метанола возрастает. Проведенные нами расчеты по уравнению [16] для $\rho(T)$ этанола показали, что и для этого спирта имеет место минимум $\alpha(T)$ в низкотемпературной области. Есть ли растворитель, для которого при обычной температуре α уменьшается с ее повышением, как это происходит для метанола и этанола при низкой температуре? Вода, включая область переохлаждения, такого поведения не обнаруживает (рис. 6, линия 1).

Уже отмечалось выше, что приведенный в [7] температурный коэффициент формамида не зависит от температуры ($\alpha = 7,6 \cdot 10^{-4} 1/K$ (273—323 К)). До последнего времени отсутствовали, насколько нам известно, измерения плотности жидкого формамида, достаточно точные для выявления зависимости $\alpha(T)$. Такие данные опубликованы недавно [17] для 298—323 К (шаг 5 К). Мы рассчитали из данных [17] молярный объем формамида $V(T)$. Линейная зависимость V от T дает $s_f = 0,0083 \text{ см}^3/\text{моль}$, но уравнение (12) обеспечивает несколько лучшее описание:*

$$V = 39,872 \pm 0,005 - (957 \pm 11)(1/T^{3/4} - 1/298,15^{3/4}), \quad s_f = 0,0072 \text{ см}^3/\text{моль}. \quad (12)$$

Уравнение (12) приводит к следующим необычным результатам:

T, K	$E \cdot 10^3, \text{ см}^3/(\text{моль} \cdot \text{К})$	$\alpha \cdot 10^4, 1/K$
298,15	$33,6 \pm 0,4$	$8,4 \pm 0,1$
323,15	$29,1 \pm 0,3$	$7,2 \pm 0,1$

И расширяемость, и температурный коэффициент формамида уменьшаются при нагревании. Качественно эти температурные изменения являются такими же, как для \bar{E}_2 (см. рис. 2) и $\bar{\alpha}_2$ (см. рис. 3). Для 10*m* раствора мочевины $\bar{\alpha}_2$ уменьшается от $7,8 \cdot 10^{-4} 1/K$ (298 К) до $6,7 \cdot 10^{-4} 1/K$ (323 К), что количественно согласуется с изменением α для формамида.

Стокс [7] считает, что коэффициент α жидкой мочевины не должен сильно отличаться от α формамида. Если это так, то функции $\alpha(T)$ двух агрегатных состояний мочевины должны кардинально отличаться, поскольку для кристаллического состояния характерен рост α с температурой (см. табл. 3). Любопытно следующее сопоставление величин обсуждаемого коэффициента (1/K): для кристаллической мочевины $\alpha = 7,1 \cdot 10^{-4}$ (348 К), для жидкого формамида $\alpha = 7,2 \cdot 10^{-4}$ (323 К), для 10*m* раствора мочевины в воде $\bar{\alpha}_2 = 7,1 \cdot 10^{-4}$ (315 К).

* Столь же точным является другое уравнение: $V = 39,875 \pm 0,005 + (9,71 \pm 0,10)(\ln T - \ln 298,15)$, $s_f = 0,0070 \text{ см}^3/\text{моль}$. Оба уравнения дают согласующиеся значения E и α .

Для понимания механизма денатурации белков важным является ответ на вопрос: происходит ли денатурация вследствие разрушения структуры воды под действием мочевины? Поэтому важно знать, как влияет мочевина на структуру воды и как это влияние зависит от температуры. На этот счет в литературе нет единого мнения [5, 18—20]. В частности, в [20] по результатам компьютерного моделирования сделан нетривиальный вывод, что вода структурируется в окружении фрагментов NH_2 .

Из зависимостей на рис. 4—6 видно, что для 2*t* и 4*t* раствора они сохраняют черты, присущие зависимостям для чистой воды. Так, $V_1(T)$ имеет минимумы, но их абсциссы смещены в область более низких температур по сравнению с $\bar{V}_1(T)$. Соответственно, при более низкой температуре происходит смена знака для $\bar{E}_1(T)$ и $\bar{\alpha}_1(T)$. В то же время для 6*t*, 8*t* и 10*t* раствора обсуждаемые функции не обнаруживают тенденции к смене знака, оставаясь положительными в исследуемом интервале температур. В относительно разбавленных растворах, вероятно, сохраняется собственная структура воды. В таких системах относительно большую роль играют связи вода—вода, а собственная структура воды при понижении температуры проявляется в большей степени. В концентрированных растворах усиливается роль взаимодействий между молекулами мочевины, что приводит к росту \bar{E}_1 и $\bar{\alpha}_1$ при охлаждении.

Работа выполнена при поддержке Российского фонда фундаментальных исследований, проект № 06-03-96320 р-центр-а.

СПИСОК ЛИТЕРАТУРЫ

1. Speedy R.J. // J. Phys. Chem. – 1987. – **91**, N 12. – P. 3354 – 3358.
2. Федотова М.В., Тростин В.Н. Вода в экстремальных условиях: структурный прогноз // Вода: структура, состояние, сольватация. Достижения последних лет ("Проблемы химии растворов") / Отв. ред. акад. А.М. Кутепов. – М.: Наука, 2003.
3. Gill S.J., Dec S.F., Olofsson G., Wadsö I. // J. Phys. Chem. – 1985. – **89**, N 17. – P. 3758 – 3761.
4. Королев В.П. // Журн. структур. химии. – 2006. – **47**, № 4. – С. 715 – 725.
5. Иванов Е.В., Абросимов В.К. // Журн. общ. химии. – 2000. – **70**, № 3. – С. 408 – 419.
6. Иванов Е.В., Абросимов В.К. Современное состояние исследований структурных и объемных свойств мочевины и ее водных растворов // Биологически активные вещества в растворах. Структура, термодинамика, реакционная способность ("Проблемы химии растворов") / Отв. ред. акад. А.М. Кутепов. – М.: Наука, 2001.
7. Stokes R.H. // Austral. J. Chem. – 1967. – **20**, N 10. – P. 2087 – 2100.
8. Химический энциклопедический словарь / Гл. ред. акад. И.Л. Кнуниэнц. – М.: Сов. энциклоп., 1983.
9. White C.M. // J. Amer. Chem. Soc. – 1936. – **58**. – P. 1620 – 1623.
10. Gucker F.T. Jr., Gage F.W., Moser C.E. // Ibid. – 1938. – **60**. – P. 2582 – 2588.
11. Королев В.П., Батов Д.В., Смирнова Н.Л., Кустов А.В. // Журн. структур. химии. – 2007. – **48**, № 4. – С. 717 – 723.
12. Королев В.П. // Там же. – С. 724 – 730.
13. Королев В.П. // Там же. – 2006. – **47**, № 2. – С. 295 – 302.
14. Королев В.П. // Там же. – 2007. – **48**, № 3. – С. 613 – 617.
15. Абросимов В.К., Иванов Е.В. Вода в неводных растворителях: состояние и сольватация // Вода: структура, состояние, сольватация. Достижения последних лет ("Проблемы химии растворов") / Отв. ред. акад. А.М. Кутепов. – М.: Наука, 2003.
16. Sun T.F., Schouten J.A., Trappeniers N.J., Biswas S.N. // J. Chem. Thermodyn. – 1988. – **20**. – P. 1089 – 1096.
17. Gómez Marigliano A.C., Sólomo H.N. // J. Chem. Eng. Data. – 2002. – **47**, N 4. – P. 796 – 800.
18. Subramanian S., Sarma T.S., Balasubramanian D., Ahluwalia J.C. // J. Phys. Chem. – 1971. – **75**, N 6. – P. 815 – 820.
19. Wallqvist A., Covell D.G., Thirumalai D. // J. Amer. Chem. Soc. – 1998. – **120**. – P. 427 – 428.
20. Vanzi F., Madan F., Sharp K. // Ibid. – P. 10748 – 10753.